

## Anexa nr. 9 la Contract nr. 21N/2016

**Contractor: Institutul National C-D pentru Fizica Pamantului**

**Cod fiscal : 5495458** (Anexa la procesul verbal de avizare interna nr.

)

De acord,

**DIRECTOR GENERAL**

**Dr.ing. Constantin Ionescu**

Avizat,

**DIRECTOR DE PROGRAM**

**Prof. Gheorghe Marmureanu**

### **RAPORT DE ACTIVITATE AL FAZEI**

**Contractul nr.: PN 16 35 01 08**

**Proiectul: Parametrizarea surselor seismice in cazul seismicitatii grupate in crusta si manta**

**Faza: 2. Aplicarea algoritmului de calcul pentru studii de caz**

**Termen: 20.03.2017**

1. **Obiectivul proiectului:** Combinarea algoritmilor de corelatie incruisata cu algoritmii de deconvolutie relativa (rapoarte spectrale si functii Green empirice) in scopul optimizarii constrangerii parametrizarii si scalarii sursei in cazul secentelor crustale si subcrustale.
2. **Rezultate preconizate pentru atingerea obiectivului:** Evaluarea parametrilor de sursa seismica prin combinarea algoritmilor de corelatie incruisata cu algoritmii de deconvolutie relativa pentru cutremure crustale si subcrustale; obtinerea relatiilor de scalare pentru parametrii de sursa estimati; corelarea caracteristicilor gruparilor seismice din crusta si manta cu proprietatile seismotectonice ale zonelor seismogene in care au fost generate.
3. **Obiectivul fazei:** Scopul acestui studiu este analiza parametrilor de sursa si a legilor de scalare ai acestora pentru cutremurile de adancime intermediara vrancene. Pentru parametrizarea sursei seismice s-au folosit metodele relative ale rapoartelor spectrale si deconvolutiei cu functii Green empirice.
4. **Rezultate preconizate pentru atingerea obiectivului fazei:**

Proprietatile de scalare ale sursei seismice sunt elemente esentiale in intelegerea modelului de sursa si a proceselor tectonice responsabile de generarea cutremurilor intr-un astfel de volum litosferic limitat.

Rezultatul preconizat pentru aceasta faza a lucrarii este determinarea parametrilor de sursa si a legilor lor de scalare pentru cutremurile subcrustale din zona Vrancea. Am luat in considerare toate informatiile disponibile din investigatiile anterioare precum si date noi, prelucrate de noi, pentru 161 de cutremure vrancene. Valorile caderii de tensiune estimate din raza sursei folosind metoda rapoartelor spectrale sau spectrele de deplasare ale sursei prezinta o dispersie/imprastiere foarte mare, intre 0,1-1.000 MPa.

Analizand procesul de rupere in cazul evenimentelor subcrustale vrancene, ajungem la o concluzie importanta: procesul de rupere pentru cutremurile din Vrancea este rapid si eficient atat pentru cutremurile moderate cat si pentru cele mari, ceea ce implica valori mari ale caderii de tensiune dinamice si respectiv valori mici ale dimensiunii sursei.

### **5 Rezumatul fazei:**

**Parametrizarea si scalarea sursei seismice a cutremurilor subcrustale din zona Vrancea**

Zona seismica Vrancea este un caz distinct de seismicitate grupata la adancimi intermediare. Proprietatile de scalare ale sursei seismice sunt elemente esentiale in intelegerea si modelarea proceselor tectonice responsabile de producerea cutremurelor intr-un volum litosferic atat de limitat.

Scopul acestui studiu este analiza parametrilor de sursa si a legilor de scalare ai acestora pentru cutremurele de adancime intermediara vrancene. Pentru parametrizarea sursei seismice s-au folosit metodele relative ale rapoartelor spectrale si deconvolutiei cu functii Green empirice, metode folosite pe larg in studiile de sursa seismică.

Sunt luate in considerare rezultatele obtinute anterior in diverse lucrari impreuna cu noile determinari, rezultand astfel o baza de date extinsa (314 evenimente in total, dintre care 161 evenimente noi), care acopera un interval de magnitudine (Mw) de la 2.8 la 7.7 (evenimentul major din 1940). Pentru cele mai multe cutremure de magnitudine moderata, rezultatele evidenteaza o functie de timp a sursei simpla, care corespunde unui model cu sursa circulara si proces de rupere omogena. Scalarile momentului seismic cu raza sursei si cu caderea de tensiune par sa fie similare pe intregul interval de magnitudine al setului de date considerat ( $2.8 \leq M_w \leq 7.7$ ) si sunt in concordanța cu scalarea teoretica pentru modelele de sursa adoptate in general in studiile sursei seismice. Valorile mari ale caderii de tensiune pentru cutremurele moderate si mari indica un proces de rupere rapid si eficient la diferite scari, explicat probabil prin procese de topire prin forfecare care se propaga rapid pe planul de falie.

Cuibul seismic din Vrancea este un caz distinct, neobisnuit de seismicitate grupata la adancimi intermediare. Sunt evidente doua caracteristici pregnante ale regimului seismic din aceasta regiune: (1) restrangerea in spatiu a localizarii hipocentrelor, cu o imprastire intr-un plan vertical ingust, aproape de planul geometric vertical (Cărbunar and Radulian, 2011) (2) rata de producere persistenta si aproape invarianta a seismicitatii de fond ( $10 \pm 5$  evenimente de magnitudine locala mai mare ca trei pe luna). In ceea ce priveste cele mai mari cutremure, rata seismicitatii estimata din secolul XV pana in prezent este de  $3 \pm 1$  de cutremure de magnitudine peste 7 pe secol.

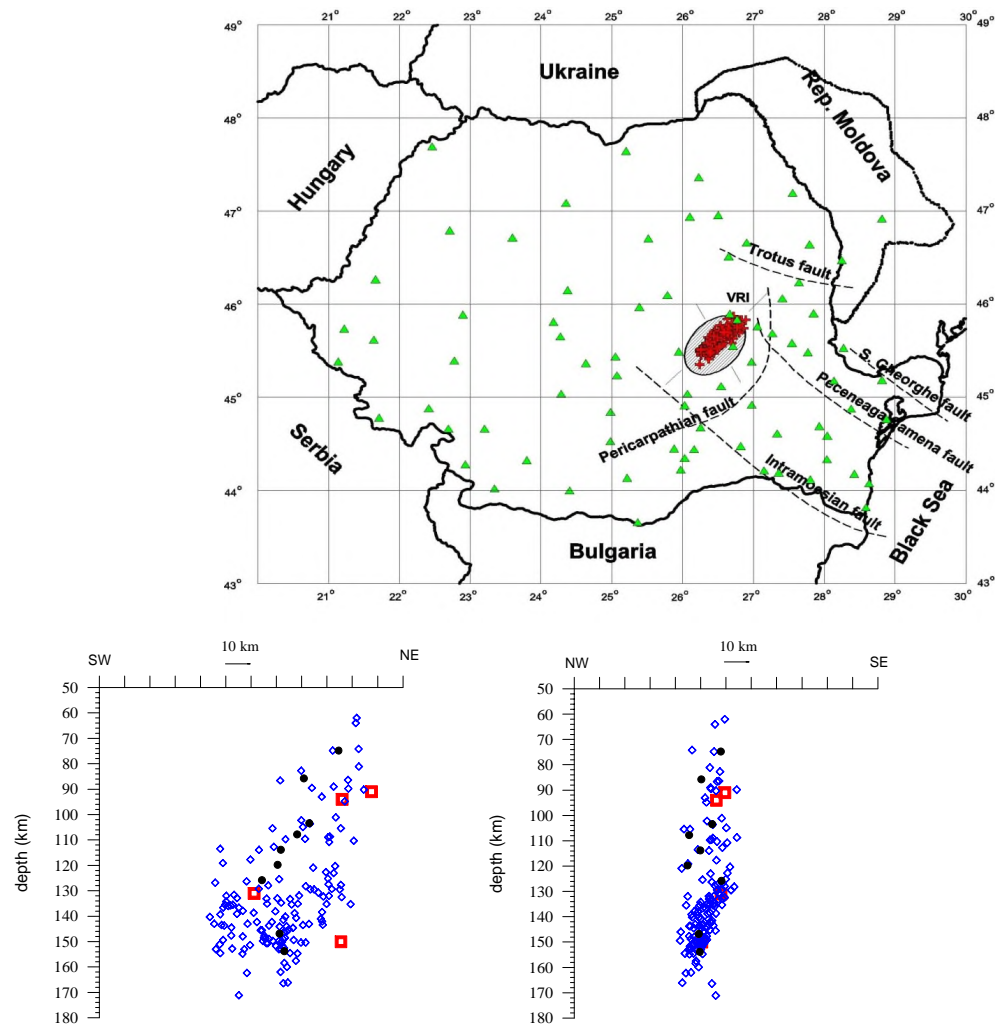
Cantitatea mare de forme de unda pentru cutremurele vrancene de adancime intermediara inregistrate digital de catre Institutul National pentru Fizica Pamantului (INCDFP) ofera posibilitatea de evaluare, in mod sistematic, a proprietatilor sursei individuale si proprietatilor colective de scalare, cu scopul de a intelege procesul global de seismogeneza din aceasta zona geotectonica particulara. O provocare esentiala pentru acest tip de abordare este separarea diferitelor factori care intervin si modifica semnalul inregistrat la suprafata: sursa, propagarea, amplasamentul si raspunsul instrumentului. Acest lucru este dificil pentru regiunea Vrancea, unde exista neomogenitati laterale puternice de structura, atat in crusta cat si in manta (Ismail-Zadeh et al., 2012).

Metodele relative ale rapoartelor spectrale si deconvolutiei cu functii Green empirice permit eliminarea efectelor de parcurs, amplasament si instrument pentru evenimentele principale, prin deconvoluarea din formele de unda ale acestora a formelor de unda ale cutremurelor de magnitudine mai mica asociate, considerate functii Green empirice. Cele doua metode se aplică perechilor de cutremure localizate aproximativ in acelasi loc si inregistrate de aceleasi statii seismice (Popescu, 2010). In metoda deconvolutiei cu functia empirica Green, evenimentele mai mici dintr-un set de cutremure co-localizate actioneaza ca functii medii de transfer. Acestea descriu in mod empiric efectele de parcurs, amplasament si instrument asupra formei de unda (Bakun si Bufe, 1975; Frankel, 1982; Mueller, 1985; Mori Frankel, 1990; Hough et al., 1991). In metoda rapoartelor spectrale (Lindley, 1994; Jack, 2015) cerintele sunt mai putin restrictive in ceea ce priveste dimensiunea relativa a evenimentelor din setul de date.

In acest studiu am aplicat metodele relative ale rapoartelor spectrale si deconvolutiei cu functii Green empirice pe un set de 161 evenimente vrancene de adancime intermediara care indeplinesc conditiile cerute de metodele relative (Tabelul 1 din Anexa).

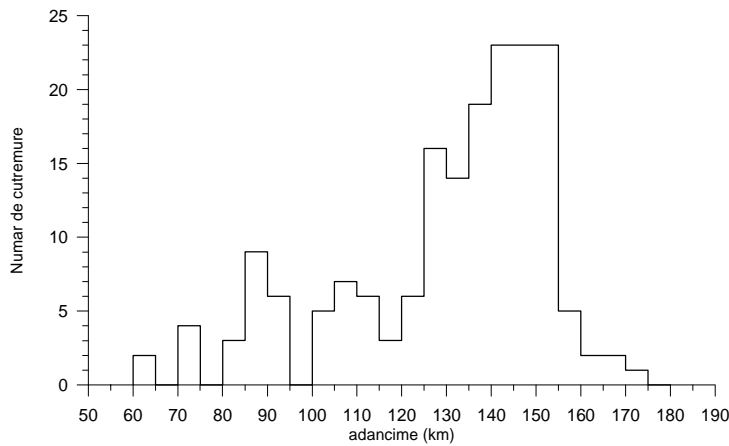
Rezultatele obtinute in acest raport au fost analizate impreuna cu rezultatele obtinute in studiile anterioare de catre Radulian si Popa (1996) si Oth et al. (2007), care au aplicat tehnica deconvolutiei cu functii Green empirice pentru evaluarea parametrilor sursei seismice si a proprietatilor lor de scalare pentru un numar limitat de evenimente vrancene (8 si respectiv 9 evenimente) si cu rezultatele obtinute utilizand tehnici spectrale relative cu rezultate similare obtinute de Oncescu et al. (1998) si Gusev et al. (2002), folosind tehnica spectrala absoluta. Estimarile parametrilor de sursa pentru ultimele cutremure majore (1940, 1977, 1986, 1990) au fost, de asemenea, incluse in studiu, cu scopul de a extinde intervalul de magnitudine folosit la relatiile de scalare.

In figura 1 este prezentata distributia spatiala a evenimentelor analizate in acest studiu. Cele doua sectiuni transversale verticale reprezinta proiectiile hipocentrelor pe cele doua plane perpendiculare reprezentate pe harta. Localizarile evenimentelor majore din 1940, 1977, 1986 si 1990 si localizarile evenimentelor investigate de Radulian si Popa (1996) sunt incluse in figura 1. Pentru toate evenimentele s-au folosit localizarile din Romplus, localizari facute in mod curent cu ajutorul software-ului Hypoplus (Oncescu et al., 1999). Hipocentrele sunt situate intr-un volum focal limitat, situat intre 62 si 171 km adancime, orientat pe directia NE-SV si inclinat de la NE la SV, tangential la curbura Arcului Carpatice. Cu exceptia evenimentelor majore din 1940, 1977, 1986 si 1990, fiecare eveniment are cel putin un eveniment co-localizat. Aparent, hipocentrul evenimentului major din 1940 este in afara clusterului analizat in aceasta lucrare, dar exista indoieli cu privire la pozitia reala a focarului (de exemplu, adancimea acestui eveniment este 133 km in Oncescu, 1987 si 124 km in Hurukawa et al., 2008).

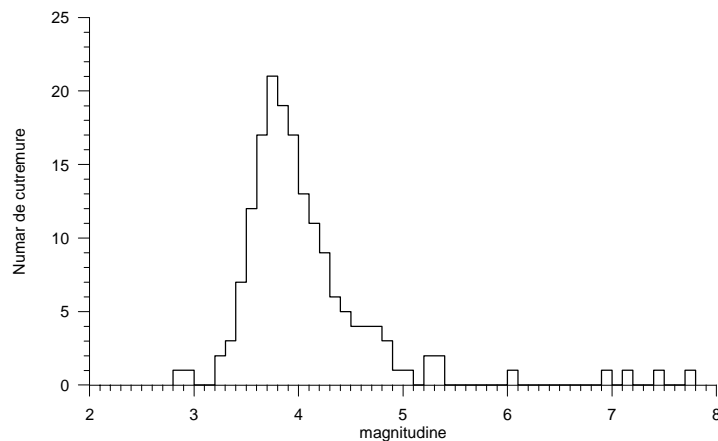


**Fig. 1.** Distributia epicentrelor evenimentelor analizate si a statilor seismice ale Institutului National pentru Fizica Pamantului (sus) si proiectia hipocentrelor pe doua sectiuni verticale marcate pe harta (jos). Romburile albastre reprezinta evenimentele analizate in acest studiu, cercurile negre sunt evenimentele analizate de Radulian si Popa (1996) si patratele rosii reprezinta evenimentele majore.

Figurile 2 si 3 reprezinta distributia evenimentelor in functie de adancime si magnitudine. De observat cresterea volumului seismic activ in segmentul inferior al zonei Vrancea. Aceasta crestere pare a fi o caracteristica generala a modelelor de seismicitate din domeniul subcrustal vrancean (de exemplu, Radulian et al., 2007).



**Fig. 2** Distributia evenimentelor in functie de adancime.



**Fig. 3** Numarul de evenimente in functie de magnitudine.

### Parametrii de sursa

Pentru setul de date analizat in acest studiu am determinat parametrii de sursa prin aplicarea tehniciilor relative: rapoarte spectrale si deconvolutie cu functii Green empirice. Cutremurele moderate ( $M_w$  mai mic de 5.6 si un singur eveniment cu  $Mw = 6.0$ ) au fost considerate evenimente principale. In toate cazurile, consideram un proces de rupere circulara, ipoteza rezonabila pentru cutremure mici si moderate. De asemenea, consideram un proces de rupere simpla, ca o caracteristica generala a cutremurilor vrancene de magnitudine mica pana la moderata (Popescu et al, 2003; 2007).

Aplicarea metodei raportelor spectrale si a deconvolutiei cu functii Green empirice elimina efectele de parcurs, amplasament si instrument atunci cand sunt aplicate perechilor de evenimente co-localizate, cu acelasi mecanism focal si care sunt inregistrate de acelasi tip de instrument la aceleasi statii. Pentru cutremurele mai recente (dupa 2009), putem gasi perechi de evenimente inregistrate la aproximativ 15 statii comune. In acelasi timp, pentru multe dintre evenimentele principale putem selecta mai multe functii Green empirice.

Pentru un model de sursa cu rupere uniforma si cadere spectrala la frecvente mari de tip  $\omega^{-2}$ , raportul spectral poate fi aproximat prin functia teoretica:

$$R(f) = \frac{\Omega_0^P [1 + (f/f_c^G)^{2\gamma}]^{1/2}}{\Omega_0^G [1 + (f/f_c^P)^{2\gamma}]^{1/2}} \quad (1)$$

unde  $\Omega_0^P$ ,  $\Omega_0^G$  sunt palierele de frecventa joasa ale spectrelor de amplitudine ale deplasarii cutremurelor mai mare si respectiv mai mic, iar  $f_c^P$ ,  $f_c^G$  sunt frecvenetele de colt ale cutremurelor care formeaza perechea.

Printra-o procedura de regresie neliniara, se cauta functia (1) care aproximeaza cel mai bine raportul spectral observat. Parametrii liberi in procesul de aproximare sunt: raportul momentelor seismice (proportional cu raportul palierelor de frecventa joasa din spectrul de deplasare al evenimentelor co-localizate care formeaza o pereche) si frecvenetele de colt ale evenimentelor pereche si sunt date pentru fiecare pereche de cutremure ( $f_c^G$ - frecventa de colt a evenimentului Green,  $f_c^M$  - frecventa de colt a cutremurului principal).

Un puls clar al functiei de timp a sursei indica faptul ca evenimentul considerat functie Green empirica este bun. In majoritatea cazurilor, sunt obtinute amplitudini si durate similare pentru pulsurile sursei si pentru rapoartele spectrale, independent de pozitia statiei. Acest lucru indica faptul ca efectele de directivitate a sursei sunt, practic, absente si ca evenimentul considerat functie Green empirica este selectat in mod adevarat in raport cu evenimentul principal, atat ca localizare cat si ca model de radiatie. Durata sursei este estimata din functia de timp a sursei rezultata din aplicarea deconvolutiei cu functii Green empirice. Un exemplu tipic de rapoarte spectrale si functii de timp ale sursei pentru o pereche de cutremure intermediare vrancene este prezentat in Figura 4.

Frecventa de colt este determinata ca media aritmetica a tuturor valorilor obtinute pentru componente diferite, statii diferite si pentru diferite functii Green empirice (doar pentru evenimentele principale). Desigur, durata sursei se poate calcula doar pentru evenimentele principale, si este de asemenea, determinata ca medie aritmetica a tuturor valorilor disponibile. Atat frecventa de colt cat si durata sursei evidențiaza o masura a dimensiunii sursei.

Pentru un model de sursa circulara, raza sursei este direct corelata cu frecventa de colt conform relatiei (Madariaga, 1976):

$$r = k \beta/f_c \quad (2)$$

unde  $r$  este raza echivalenta a sursei,  $k$  este o constanta (( $k = 0.32$  pentru undele P si  $k = 0.21$  pentru undele S),  $f_c$  este frecvenata de colt si  $\beta$  este viteza undelor S in focar.

Echivalent, raza sursei se calculeaza folosind durata sursei, conform relatiei (Boatwright, 1980):

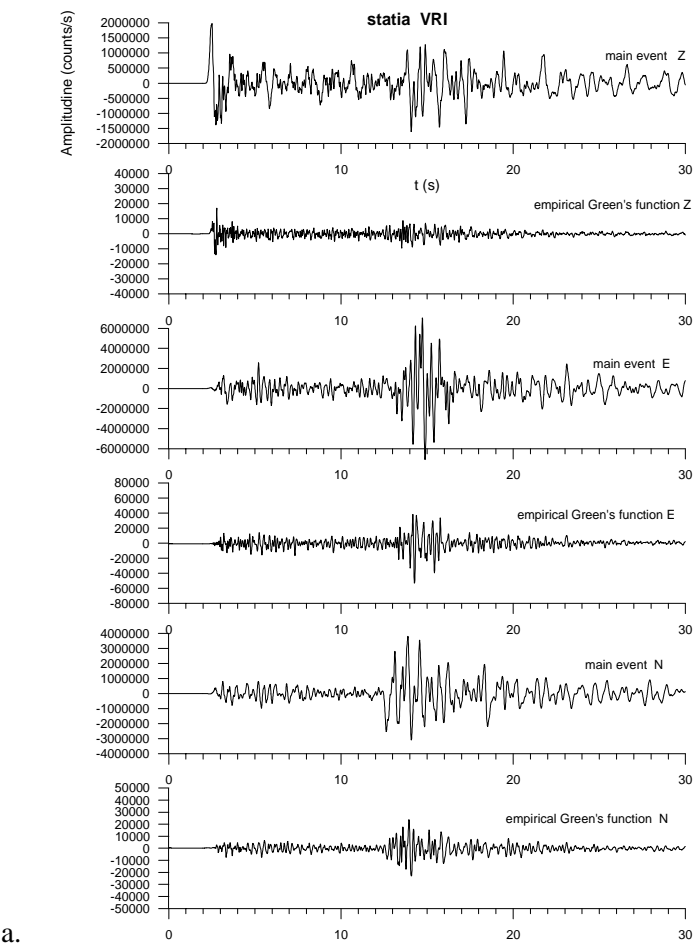
$$r = (\tau_{I/2} v) / (1 - v/\alpha \sin \theta) \quad (3)$$

unde  $\tau_{I/2}$  este timpul de crestere (pentru cutremurele moderate este luat ca jumata din latimea pulsului obtinut prin deconvolutie),  $v$  este viteza de rupere in sursa (am considerat  $v = 0.9\beta$ , cu  $\beta$ - viteza de propagare a undelor S la adancimea sursei seismice),  $\alpha$  - viteza de propagare a undelor P in sursa si  $\theta$  este unghiul dintre normala la falie si directia de iesire a undelor P din focar (am luat in acest caz  $\theta=45^\circ$ ). S-a obtinut valoarea medie a timpului de crestere pentru fiecare pereche ca medie aritmetica a valorilor obtinute pentru fiecare statie. In cazul fiecarui eveniment principal, daca am avut la dispozitie mai multe functii Green, timpul de crestere este media tuturor valorilor  $\tau_{I/2}$  obtinute (diferite functii Green si diferite statii).

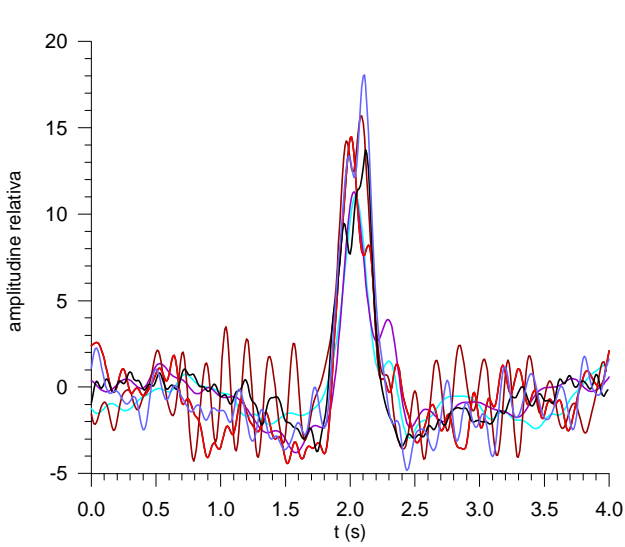
Tehnicile relative de deconvolutie ofera doar o masura relativa a momentului seismic. Pentru evaluarea valorii absolute a momentului seismic folosim relatie (Brune, 1970):

$$M_0 = (4\pi\rho\alpha^3\Omega_0 R)/(FR_{\theta\phi}) \quad (4)$$

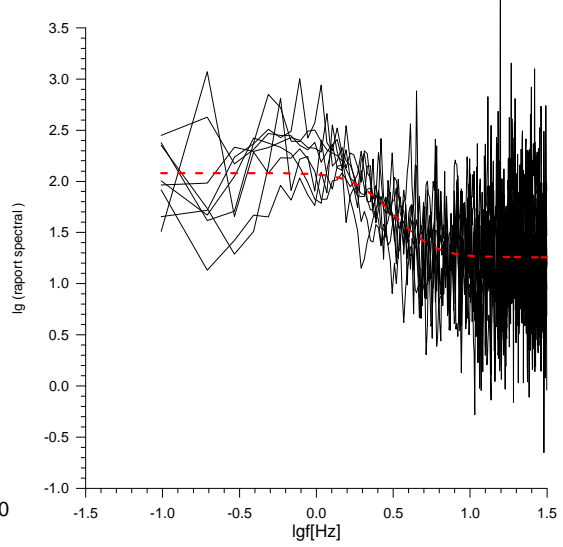
unde,  $\rho$  este densitatea la adancimea sursei,  $\alpha$  este viteza undelor P la adancimea sursei,  $\Omega_0$  este nivelul de joasa perioada al spectrului de deplasare,  $R$  este distanta hipocentrala,  $F$  este parametrul suprafetei libere ( $F=2$ ) si  $R_{\theta\phi}$  este modelul de radiatie al sursei (valoare medie de 0.52 pentru P si 0.63 pentru S, in acord cu Aki si Richards, 1980). Pentru parametrii de structura din ecuatia (5) am folosit model de viteza adoptat de INCDFP in localizarile de rutina, model care include informatii din profilele de refractie si reflexie (Zaharia et al., 2009 si referintele de aici).



a.



b.



c.

**Fig. 4.** Exemplu de pereche eveniment principal - functie Green empirica. a) Formele de unda inregistrate la statia VRI pentru evenimentul din 25 aprilie 2009, ora 17:18, Mw=5.2 (eveniment principal) si evenimentul din 26 aprilie 2009, ora 23:19, Mw=3.8 (functia Green empirica); b) exemple de functii de timp ale sursei si c) rapoartele spectrale obtinute. Linia punctata reprezinta raportul spectral teoretic care fiteaza cel mai bine curbele obtinute pentru opt statii.

Caderea de tensiune este estimata in functie de momentul seismic si raza sursei, conform relatiei: (Eshelby, 1957):

$$\Delta\sigma = \frac{7M_0}{16r^2} \quad (5)$$

### Relatiile de scalare

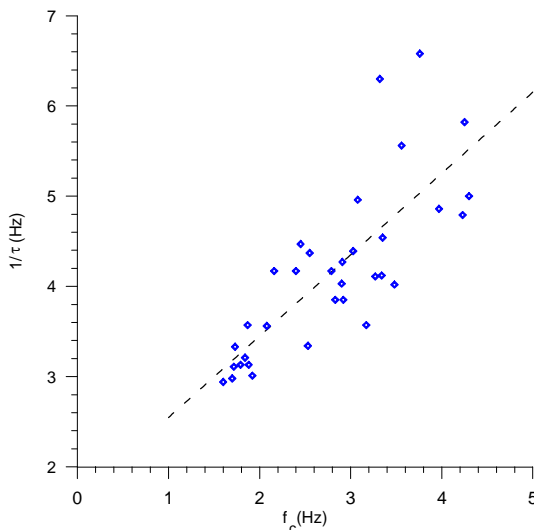
Frecventele de colt pentru undele P si S obtinute in studiul nostru pentru perechi de evenimente co-localizate au valori apropiate (raportul  $f_c^P/f_c^S \sim 1$ ). De obicei frecventele de colt ale undelor P sunt in mod sistematic mai mari decat cele ale undelor S pentru acelasi cutremur (Molnar et al., 1973; Abercrombie si Leary, 1993; Prieto et al., 2004). In modelul circular al lui Madariaga (1976) raportul  $f_c^P/f_c^S$  are o valoare medie de 1.5. Un raport  $f_c^P/f_c^S \sim 1$  a fost obtinut de Viegas (2012) si Radulian et al. (2014) pentru cutremurile crustale mici si moderate de tip intra-placa. In astfel de cazuri, presupunem ca frecventa de colt este controlata mai mult de timpul de crestere (propagarea ruperii) care este aceeasi atat pentru undele P cat si pentru undele S, decat de dimensiunea sursei, care produce diferente intre  $f_c^P$  si  $f_c^S$ , deoarece interferenta undelor produsa de dimensiunea limitata a sursei difera pentru undele P si pentru undele S. Dupa cum este de asteptat, efectele datorate dimensiunii finite a sursei devin mai importante pe masura ce cutremurul este mai mare si ca urmare raportul  $f_c^P/f_c^S$  se apropie de valoarea teoretica 1.5, dupa cum au aratat Gusev et al. (2002).

Relatia de scalare dintre durata sursei si frecventa de colt (Figura 5) are o corelatie liniara cu panta apropiata de 1 ( $f_c \sim 1/\tau$ ), in concordanca cu relatia de scalare obtinuta de Gusev et al. (2002), atat in domeniul timp cat si in domeniul spectral, din analizele inregistrarilor digitale pe banda larga pentru 16 cutremure subcrustale vrancene.

Relatia de scalare dintre raza sursei (estimata doar din rapoarte spectrale deoarece doar prin aceasta metoda se pot estima frecventele de colt pentru ambele evenimente, eveniment principal si functie Green empirica) si magnitudinea din moment (Figura 6) prezinta o scalare cu cadere de tensiune constanta cu panta apropiata de valoarea teoretica -3 (Brune, 1970). Dreapta de regresie este data de ecuatia:

$$\lg M_0 = (2.87 \pm 0.13) \lg r + (7.41 \pm 0.33) \quad (6)$$

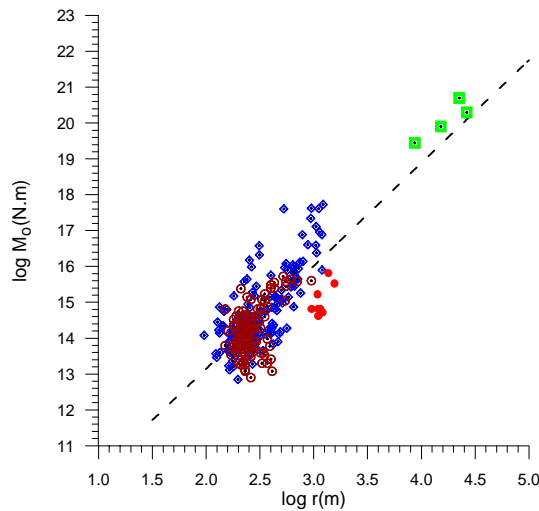
cu un coeficient de corelatie de 0.80 si deviatia standard 0.67.



**Fig. 5.** Relatia de scalare durata sursei-frecventa de colt pentru evenimentele principale din Talelul 1a. Linia punctata este linia de panta 1.

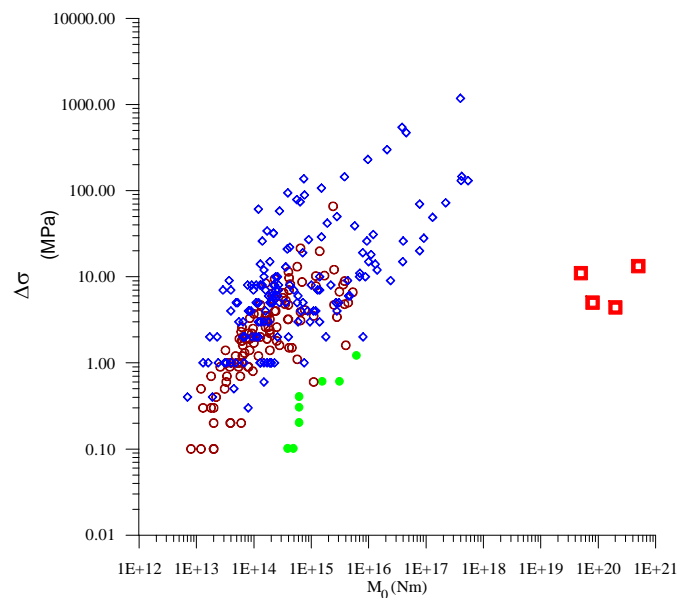
In analiza noastra am considerat si rezultatele anterioare obtinute de Oncescu (1986), Radulian si Popa (1996) precum si parametrii de sursa pentru cele patru evenimente majore. De asemenea, am comparat frecventele de colt obtinute in studiul nostru cu valorile obtinute de Oth et al. (2007) pentru evenimentele urmatoare: 1999/11/08 19:22 ( $M_w$  4.6), 1999/11/14 09:05 ( $M_w$  4.6), 2000/04/06 00:10 ( $M_w$  5.0), 2002/09/06 05:04 ( $M_w$  4.1), 2002/11/03 20:30 ( $M_w$  4.0) si 2004/10/27 20:34 ( $M_w$  6.0). Daca pentru evenimentul din 2004

frecvențele de colt sunt identice, pentru celelalte evenimente estimările facute de Oth et al. (2007) sunt mai mari decat estimările noastre cu un factor de 1.5.



**Fig. 6.** Relatia de scalare moment seismic - raza sursei. Romburile reprezinta evenimentele din acest studiu; cercurile rosii prezentaza evenimentele analizate de Radulian si Popa (1996); patratele verzi reprezinta cele patru evenimente majore; cercurile maro reprezinta evenimentele analizate de Oncescu (1986).

Relatia de scalare dintre caderea de tensiune si momentul seismic este reprezentata in Figura 7.



**Fig. 7.** Relatia de scalare cadere de tensiune – moment seismic. Romburile albastre reprezinta evenimentele din acest studiu; cercurile pline verzi reprezinta evenimentele analizate de Radulian si Popa (1996); patratele rosii reprezinta cele patru evenimente majore; cercurile maro reprezinta evenimentele analizate de Oncescu (1986).

Pentru setul de date analizat în această lucrare, raza sursei a fost estimată prin metoda rapoartelor spectrale prin aproximarea observațiilor cu o funcție teoretică ca cea din relația (1). Am considerat valorile medii pentru toate estimările disponibile (componente, statii și funcții Green empirice diferite). Oncescu (1986) a obținut raza sursei prin simpla analiza a spectrelor de deplasare, în timp ce pentru evenimentele majore s-au folosit estimările obținute din distribuția în spațiu a replicilor (Radulian si Popa, 1996).

Imprastierea valorilor caderii de tensiune este mare, dupa cum rezulta din relatia (5), avand in vedere erorile inerente in estimarea razei si variabilitatea datorata parametrilor impliciti, cum ar fi viteza de rupere sau geometria sursei. In plus, este important modul in care definim caderea de tensiune: eliberarea medie de tensiune pe intreaga suprafață a sursei (valoare statică) sau eliberarea de tensiune, atunci cand se rupe o zona de rezistență mare în interiorul sursei (valoare dinamică). Caderea de tensiune aparentă are o tendință de creștere cu creșterea momentului seismic pentru evenimente mai mici (pană la magnitudinea 6) iar aceasta tendință poate fi datorată latimii limitate a benzii de frecvență a instrumentului (de exemplu, Hardebeck și Aron, 2009, Ide și Beroza, 2001; Abercrombie, 2015) precum și raportului semnal / zgomot scăzut la frecvențe înalte care conduce la o subestimare a frecvenței de colt pentru cutremure mai mici.

## Bibliografie

- R.E. Abercrombie, P.C. Leary, Source parameters of small earthquakes recorded at 2.5 km depth, Cajo Pass, southern California: implications for earthquake scaling, *Geophys. Res. Lett.* **20**, 1511–1514 (1993)
- R.E. Abercrombie, Investigating uncertainties in empirical Green's function of earthquake source parameters, *Journal of Geophysical Research* (2015). doi:10.1002/2015JB011984
- K. Aki, P.G. Richards, *Quantitative Seismology* (Freeman and Co., N.Y., 1980)
- W.H. Bakun, C.G. Bufe, Shear-wave attenuation along the San Andreas Fault zone in Central California, *Bull. Seismol. Soc. Am.* **65**, 439–460 (1970)
- J. Boatwright, A spectral theory for circular seismic sources: simple estimates of source duration, dynamic stress drop, and radiated energy, *Bull. Seismol. Soc. Am.* **70**, 1–28 (1980)
- J.N. Brune, Tectonic stress and the spectra of seismic shear waves from earthquakes. *J. Geophys. Res.* **75**, 4997–5009 (1970)
- O.F. Cărbunar, M. Radulian, Geometrical constraints for the configuration of the Vrancea (Romania) intermediate-depth seismicity nest, *Journal of Seismology*, **15**, 579–598 (2011)
- J.D. Eshelby, The determination of the elastic field of an ellipsoidal inclusion and related problems. *Proc. of the Royal Society of London, A* **241**, 376–396 (1957)
- A. Frankel, Precursors to a magnitude 4.8 earthquake in the Virgin Islands: spatial clustering of small earthquakes, anomalous focal mechanisms, and earthquake doublets, *Bull. Seismol. Soc. Am.* **72**, 1277–1294 (1982)
- A. Gusev, M. Radulian, M. Rizescu, G.F. Panza, Source scaling for the intermediate-depth Vrancea earthquakes, *Geophys. Int. J.* **151**, 879–889 (2002)
- J.L. Hardebeck, A. Aron, Earthquake stress drops and inferred fault strength on the Hayward Fault, east San Francisco Bay, California, *Bull. Seismol. Soc. Am.*, **99**, 1801–1814 (2009)
- S.E. Hough, L. Seeber, A. Lerner-Lam, G. Armbruster, H. Guo, Empirical Green's function analysis of Loma Prieta aftershocks, *Bull. Seismol. Soc. Am.* **81**, 1737–1753 (1991)
- N. Hurukawa, M. Popa, M. Radulian, Relocation of large intermediate-depth earthquakes in the Vrancea region, Romania, since 1934 and a seismic gap, *Earth Planets Space*, **60**, 565–572 (2008)
- S. Ide, G.C. Beroza, Does apparent stress vary with earthquake size?, *Geophys. Res. Lett.* **28**, 3349–3352, (2001). doi:10.1029/2001GL013106
- A. Ismail-Zadeh, L. Matenco, M. Radulian, S. Cloetingh, G.F. Panza, Geodynamics and intermediate-depth seismicity in Vrancea (The South-Eastern Carpathians): Current state-of-the art, *Tectonophysics*, **530**, 50–79 (2012)
- G.T. Lindley, Source parameters of the 23 April 1992 Joshua Tree, California earthquake, its largest foreshock and aftershocks. *Bull. Seism. Soc. Am.* **84**, 1051–1057 (1994)
- R. Madariaga, Dynamics of an expanding circular crack, *Bull. Seismol. Soc. Am.* **66**, 639–666 (1976)
- P. Molnar, B.E. Tucker, J. Brune, Corner frequencies of P and S wave and models of earthquake sources, *Bull. Seismol. Soc. Am.* **63**, 2091–2104 (1973)
- J. Mori, A. Frankel, Source parameters for small events associated with the 1986 North Palm Springs, California earthquake determined using empirical Green functions, *Bull. Seism. Soc. Am.* **80**, 278–285 (1990)
- C.S. Mueller, Source pulse enhancement by deconvolutions with empirical Green's function, *Geophys. Res. Lett.* **12**, 33–36 (1985)
- M.C. Oncescu, Some source and medium properties of the Vrancea seismic region, Romania. *Tectonophysics* **126**, 245–258 (1986)

- M.C. Oncescu, On the stress tensor in Vrancea region, J. Geophys. **62**, 62-65 (1987)
- M.C. Oncescu, V. Mărza, M. Rizescu, M. Popa, *The Romanian earthquakes catalogue between 1984 and 1997*. In: Vrancea Earthquakes: Tectonics, Hazard and Risk Mitigation, edited by F. Wenzel, and D. Lungu, (Kluwer Academic Publishers, pp. 43–47) (continuously updated) (1999)
- A. Oth, F. Wenzel, M. Radulian, Source parameters of intermediate-depth Vrancea (Romania) earthquakes from empirical Green's functions Modeling, Tectonophysics **438**, 33-56 (2007)
- E. Popescu, M. Popa, M. Radulian, Efficiency of the spectral ratio method to constrain the source scaling properties of the Vrancea (Romania) subcrustal earthquakes. Rom. Rep. Phys. **55**, 149-169 (2003)
- E. Popescu, M. Radulian, M. Popa, A.O. Plăcintă, D. Ghica, I.A. Moldovan, Vrancea seismic source calibration using a small-aperture array, Romanian Reports in Physics **59**, 147-164 (2007)
- G.A. Prieto, P.M. Shearer, F.L. Vernon, D. Kilb, Earthquake source scaling and self-similarity estimation from stacking P and S spectra, J. Geophys. Res. B Solid Earth Planets **109**, no. B0, 8310 (2004). doi: 10.1029/2004JB003084.
- M. Radulian, M. Popa, Scaling of source parameters for Vrancea (Romania) intermediate depth, Tectonophysics **261**, p. 67-81(1996)
- M. Radulian, K.P. Bonjer, M. Popa, E. Popescu, Seismicity patterns in SE Carpathians at crustal and subcrustal domains: tectonic and geodynamic implications, Proc. CRC-461 International Symposium on Strong Vrancea Earthquakes and Risk Mitigation, (MATRIX ROM), Bucharest, p.93-102 (2007)
- M. Radulian, E. Popescu, F. Borleanu, M. Diaconescu, Source Parameters of the December 2011 - January 2012 Earthquake Sequence in Southern Carpathians, Romania, Tectonophysics **623**, 23-38 (2014)
- C.H. Scholz, Scaling laws for large earthquakes: consequences for physical models, Bulletin of the Seismological Society of America, **72**, 1-14 (1982)
- C. H. Scholz, Size distribution for large and small earthquakes, Bulletin of the Seismological Society of America **87**, 1074-1077 (1997)
- G.L. Viegas, Source parameters of the 16 July 2010  $M_w$  3.4 Germantown, Maryland, earthquake, Seism. Res. Lett. **83**, 933-944 (2012)
- C.I. Trifu, M. Radulian, Frequency - magnitude distribution of earthquakes in Vrancea: relevance for a discrete model, J. Geophys. Res. **96**, 4301-4311 (1991)
- B. Zaharia, B. Enescu, M. Radulian, M. Popa, I. Koulakov, S. Parolai, Determination of the lithospheric structure from Carpathians Arc bend using local data, Romanian Reports in Physics, Vol. **61**, No. 4, P. 748-764 (2009)
- J.H. Wang, S.S. Ou, On scaling of earthquake faults. Bull. Seism. Soc. Am. **88**, 758-766 (1998)

## Anexa

**Tabelul 1a.** Parametrii hipocentrali si parametrii de sursa pentru evenimentele principale

Nr	Data	hh:mm	Lat (°N)	lon (°E)	H (km)	Mw	f <sub>c</sub> (Hz)	r <sub>sr</sub> *(m)	τ <sub>1/2</sub> (s)	r <sub>rt</sub> *(m)	Δσ <sub>sr</sub> *(MPa)	Δσ <sub>rt</sub> *(MPa)	M <sub>o</sub> (Nm)
1	1997/10/11	19:00	45.77	26.76	113	4.5	3.35	571	0.110	729	19	9	$7.9 \times 10^{15}$
2	1997/11/18	11:23	45.76	26.71	123	4.7	2.53	742	0.150	952	14	7	$1.3 \times 10^{16}$
3	1997/12/30	04:39	45.54	26.32	139	4.6	3.56	536	0.090	595	26	19	$9.3 \times 10^{15}$
4	1998/01/19	00:53	45.64	26.67	105	4.0	4.25	440	0.086	564	8	4	$1.5 \times 10^{15}$
5	1998/03/13	13:14	45.56	26.33	155	4.7	2.40	795	0.120	793	12	12	$1.4 \times 10^{16}$
6	1998/07/27	15:02	45.63	26.52	134	4.4	2.83	712	0.130	846	6	3	$4.5 \times 10^{15}$
7	1999/03/22	19:25	45.52	26.33	145	4.4	2.79	687	0.120	787	6	4	$4.7 \times 10^{15}$
8	1999/04/28	08:47	45.47	26.28	158	5.3	1.84	1051	0.156	1015	49	54	$1.3 \times 10^{17}$
9	1999/04/29	18:44	45.63	26.40	145	4.0	4.30	443	0.100	653	7	4	$1.4 \times 10^{15}$
10	1999/06/29	20:04	45.60	26.49	133	4.2	3.08	635	0.101	659	5	5	$3.0 \times 10^{15}$
11	1999/11/08	19:22	45.52	26.38	132	4.6	2.91	639	0.117	766	18	11	$1.1 \times 10^{16}$
12	1999/11/14	09:05	45.49	26.29	127	4.6	3.03	658	0.114	745	15	11	$1.0 \times 10^{16}$
13	2000/03/08	22:11	45.87	26.72	71	4.4	2.55	756	0.115	755	2	2	$1.8 \times 10^{15}$
14	2000/04/06	00:10	45.76	26.66	137	5.0	1.88	1044	0.160	1047	15	15	$3.9 \times 10^{16}$
15	2000/05/10	04:27	45.57	26.51	134	4.1	3.32	581	0.080	504	3	5	$1.4 \times 10^{15}$
16	2001/03/04	15:38	45.51	26.27	156	4.8	1.79	1196	0.160	1065	2	3	$8.0 \times 10^{15}$
17	2001/05/24	17:34	45.64	26.46	154	4.9	1.73	1131	0.150	967	28	44	$9.1 \times 10^{16}$
18	2001/07/20	05:09	45.74	26.77	133	4.8	1.87	1063	0.140	918	9	14	$2.4 \times 10^{16}$

19	2001/10/17	13:01	45.62	26.55	92	4.2	2.90	649	0.124	808	11	5	7.0x10 <sup>15</sup>
20	2002/05/03	18:31	45.57	26.33	162	4.6	2.45	663	0.112	731	10	8	6.9x10 <sup>15</sup>
21	2002/09/06	05:04	45.61	26.45	101	4.1	3.76	501	0.076	498	8	8	2.2x10 <sup>15</sup>
22	2002/11/30	08:15	45.62	26.54	166	4.7	1.92	937	0.166	1087	72	55	2.2x10 <sup>17</sup>
23	2003/10/05	21:38	45.58	26.45	146	4.6	3.27	552	0.122	795	31	10	1.2x10 <sup>16</sup>
24	2004/02/07	11:58	45.68	26.62	144	4.4	3.17	590	0.140	848	9	3	4.3x10 <sup>15</sup>
25	2004/07/10	00:34	45.69	26.57	150	4.3	2.92	661	0.130	878	4	2	2.8x10 <sup>15</sup>
26	2004/09/27	09:16	45.65	26.51	152	4.6	2.16	882	0.120	782	26	37	4.0x10 <sup>16</sup>
27	2004/10/27	20:34	45.78	26.73	99	6.0	1.60	1222	0.170	1140	130	160	5.4x10 <sup>17</sup>
28	2005/05/14	01:53	45.66	26.52	146	5.2	1.72	1190	0.161	1052	20	23	7.7x10 <sup>16</sup>
29	2009/04/25	17:18	45.68	26.62	110	5.2	1.70	782	0.168	985	70	35	7.7x10 <sup>16</sup>
30	2013/10/06	01:37	45.67	26.58	135	5.3	2.08	528	0.149	845	1180	292	4.0x10 <sup>17</sup>
31	2013/10/15	19:33	45.62	26.55	142	4.6	3.34	312	0.122	689	298	28	2.1x10 <sup>16</sup>
32	2013/11/21	06:38	45.76	26.71	89	4.2	4.30	240	0.125	680	144	6	4.5x10 <sup>15</sup>
33	2014/01/23	06:15	45.47	26.26	143	4.6	4.23	252	0.105	593	470	31	1.5x10 <sup>16</sup>
34	2014/03/26	19:46	45.68	26.55	141	4.2	4.91	226	0.113	638	145	6	3.8x10 <sup>15</sup>
35	2014/03/29	19:18	45.63	26.47	138	4.8	3.48	311	0.125	706	545	47	3.8x10 <sup>16</sup>
36	2014/04/03	12:38	45.48	26.39	136	4.4	3.97	264	0.103	584	230	21	9.7x10 <sup>15</sup>
37	2016/09/23	23:11	45.70	26.60	95	5.6	1.92	1111	0.176	1215	131	100	4.1x10 <sup>17</sup>
38	2016/12/27	23:20	45.70	26.60	99	5.3	2.28	948	0.168	1150	146	81	2.8x10 <sup>17</sup>

\* $r_{sr}$ ,  $\Delta\sigma_{sr}$  – raza sursei si caderea de tensiune obtinute din rapoarte spectrale

\* $r_{rt}$ ,  $\Delta\sigma_{rt}$  – raza sursei si caderea de tensiune obtinute folosind timpul de crestere

**Tabelul 1b.** Parametrii hypocentrali si parametrii de sursa pentru evenimentele considerate functii Green empirice

Nr	Data	hh:mm	lat (°N)	Lon (°E)	h (km)	Mw	M <sub>o</sub> (Nm)	f <sub>c</sub> (Hz)	r (m)	Δσ (MPa)
1	1997/03/19	20:51	45.56	26.39	151	3.8	1.1x10 <sup>14</sup>	6.82	290	2
2	1997/07/14	00:37	45.76	26.76	130	4.2	1.3x10 <sup>15</sup>	4.19	443	7
3	1997/11/11	23:06	45.84	26.88	65	3.5	2.43x10 <sup>13</sup>	8.24	224	1
4	1997/12/18	23:21	45.52	26.26	136	3.9	5.9x10 <sup>14</sup>	5.30	350	6
5	1998/01/14	05:01	45.71	26.60	143	4.0	2.3x10 <sup>14</sup>	9.01	234	8
6	1998/01/31	21:14	45.47	26.30	136	3.6	2.3x10 <sup>14</sup>	7.61	258	6
7	1998/02/19	14:34	45.70	26.73	132	3.7	1.3x10 <sup>14</sup>	4.71	397	1
8	1998/03/06	20:28	45.62	26.41	149	3.7	1.8x10 <sup>14</sup>	6.02	308	3
9	1998/06/06	20:34	45.69	26.57	147	3.5	1.9x10 <sup>13</sup>	6.90	269	0.4
10	1998/08/24	23:27	45.57	26.49	141	3.8	4.9x10 <sup>13</sup>	11.60	160	5
11	1998/09/21	13:49	45.73	26.66	141	3.8	1.9x10 <sup>14</sup>	7.47	264	5
12	1998/11/14	11:15	45.70	26.65	140	3.7	2.4x10 <sup>14</sup>	7.53	252	7
13	1998/12/12	10:55	45.40	26.30	147	3.5	5.7x10 <sup>14</sup>	5.65	361	5
14	1998/12/17	19:15	45.72	26.73	127	3.4	3.3x10 <sup>13</sup>	10.45	189	1
15	1999/12/28	21:50	45.64	26.60	141	3.5	7.0x10 <sup>12</sup>	9.65	197	0.4
16	1999/01/06	21:28	45.49	26.30	117	3.5	7.8x10 <sup>13</sup>	11.52	162	8
17	1999/01/09	0:04	45.48	26.41	140	3.5	8.9x10 <sup>13</sup>	9.16	215	4
18	1999/01/23	17:01	45.63	26.55	138	4.1	2.0x10 <sup>14</sup>	7.40	259	5
19	1999/03/09	17:51	45.66	26.56	153	3.6	7.0x10 <sup>13</sup>	7.14	261	2
20	1999/03/17	07:01	45.62	26.48	153	3.8	1.8x10 <sup>14</sup>	6.49	286	3
21	1999/03/23	09:11	45.66	26.55	150	4.0	1.2x10 <sup>15</sup>	3.88	491	4
22	1999/04/04	01:21	45.63	26.55	150	3.7	3.6x10 <sup>14</sup>	8.13	233	13
23	1999/04/15	02:21	45.83	26.84	88	3.7	1.4x10 <sup>14</sup>	9.11	200	8
24	1999/04/30	22:32	45.53	26.24	143	3.7	1.1x10 <sup>14</sup>	5.57	277	2
25	1999/05/05	16:21	45.67	26.56	142	3.5	4.0x10 <sup>13</sup>	6.72	277	1
26	1999/06/06	12:01	45.51	26.32	136	3.4	1.32x10 <sup>13</sup>	11.23	165	1
27	1999/06/22	08:02	45.67	26.46	153	3.7	3.6x10 <sup>14</sup>	6.57	310	5
28	1999/07/15	7:36	45.58	26.46	145	3.7	1.3x10 <sup>14</sup>	5.26	353	1
29	1999/10/12	23:48	45.67	26.41	154	3.7	1.7x10 <sup>14</sup>	7.34	374	1
30	1999/11/24	03:57	45.74	26.78	103	3.5	1.47x10 <sup>14</sup>	10.94	186	10
31	1999/12/17	16:06	45.74	26.72	75	3.5	2.7x10 <sup>14</sup>	8.12	242	8
32	2000/05/13	23:36	45.62	26.79	89	3.8	2.3x10 <sup>14</sup>	7.70	259	6
33	2000/05/28	19:08	45.79	26.64	81	3.2	4.0x10 <sup>13</sup>	10.62	166	4
34	2000/07/01	20:50	45.81	26.80	64	3.4	1.5x10 <sup>15</sup>	6.88	283	29
35	2000/07/27	02:39	45.77	26.74	136	3.7	4.8x10 <sup>13</sup>	7.70	302	1
36	2000/08/06	05:09	45.54	26.36	148	3.9	9.3x10 <sup>13</sup>	6.33	299	2
37	2000/10/12	14:56	45.66	26.59	141	3.9	4.0x10 <sup>14</sup>	7.06	217	2
38	2000/12/19	15:29	45.48	26.36	143	3.8	1.5x10 <sup>14</sup>	3.91	489	0.6
39	2000/12/28	00:17	45.73	26.73	130	3.6	8.0x10 <sup>13</sup>	3.94	466	0.3
40	2001/01/17	19:32	45.70	26.46	158	3.9	2.0x10 <sup>14</sup>	4.74	407	1
41	2001/02/03	20:56	45.74	26.67	143	3.8	8.40x10 <sup>13</sup>	10.22	204	4

42	2001/02/27	19:19	45.67	26.46	164	3.8	$6.5 \times 10^{13}$	8.14	237	2
43	2001/03/18	06:33	45.51	26.21	157	4.1	$8.7 \times 10^{14}$	4.64	452	4
44	2001/03/28	22:07	45.77	26.80	136	4.3	$5.0 \times 10^{14}$	5.91	315	7
45	2001/05/20	03:59	45.59	26.45	154	4.2	$1.4 \times 10^{15}$	5.10	390	10
46	2001/07/06	15:50	45.53	26.28	160	3.9	$1.2 \times 10^{14}$	5.91	320	2
47	2001/07/23	19:58	45.82	26.81	145	3.8	$6.8 \times 10^{13}$	4.74	422	1
48	2001/07/29	00:30	45.58	26.54	137	3.6	$6.6 \times 10^{13}$	8.34	240	2
49	2001/09/25	18:04	45.48	26.32	151	3.8	$1.9 \times 10^{14}$	3.56	562	1
50	2001/09/28	07:36	45.70	26.64	89	3.4	$1.5 \times 10^{15}$	10.40	178	12
51	2001/10/17	15:35	45.69	26.51	160	3.9	$5.7 \times 10^{15}$	5.90	400	39
52	2001/12/14	11:38	45.79	26.74	69	3.5	$1.7 \times 10^{13}$	11.27	162	2
53	2002/01/25	10:06	45.62	26.72	129	4.0	$2.0 \times 10^{14}$	4.81	406	1
54	2002/03/16	22:39	45.55	26.46	143	4.3	$2.7 \times 10^{15}$	3.50	615	5
55	2002/05/15	04:26	45.55	26.36	153	4.0	$2.6 \times 10^{14}$	5.83	299	10
56	2002/05/26	00:24	45.73	26.79	118	3.3	$2.3 \times 10^{13}$	10.31	176	2
57	2002/06/14	23:49	45.64	26.57	133	4.0	$2.8 \times 10^{14}$	7.10	301	5
58	2002/07/14	20:18	45.52	26.43	126	3.9	$1.8 \times 10^{14}$	8.21	235	6
59	2002/08/04	06:25	45.66	26.49	158	3.9	$1.5 \times 10^{14}$	4.61	406	1
60	2002/08/05	21:02	45.53	26.47	139	3.8	$2.1 \times 10^{14}$	6.42	262	5
61	2002/08/16	08:18	45.53	26.52	129	3.7	$2.4 \times 10^{14}$	8.61	216	10
62	2002/08/27	06:46	45.60	26.43	149	4.0	$1.2 \times 10^{14}$	9.04	225	5
63	2002/09/10	15:09	45.73	26.81	129	4.0	$1.3 \times 10^{14}$	4.27	474	1
64	2002/11/03	20:30	45.74	26.86	90	4.0	$9.0 \times 10^{14}$	7.77	244	27
65	2002/11/27	18:56	45.55	26.49	146	3.6	$2.1 \times 10^{14}$	7.33	258	5
66	2002/12/15	13:37	45.74	26.70	109	3.6	$1.9 \times 10^{14}$	10.33	178	15
67	2002/12/23	19:32	45.56	26.46	114	3.5	$3.7 \times 10^{13}$	14.72	123	9
68	2002/12/30	15:41	45.69	26.57	153	4.1	$2.8 \times 10^{15}$	6.31	292	50
69	2003/01/03	03:05	45.48	26.29	139	3.7	$1.3 \times 10^{14}$	7.08	269	3
70	2003/01/05	04:27	45.80	26.73	95	3.7	$3.8 \times 10^{14}$	9.30	200	21
71	2003/04/06	06:02	45.59	26.51	142	3.8	$8.4 \times 10^{13}$	9.50	207	4
72	2003/05/02	20:34	45.63	26.49	152	3.8	$1.5 \times 10^{14}$	7.27	288	3
73	2003/05/19	08:38	45.64	26.51	148	3.9	$2.3 \times 10^{14}$	4.62	423	1
74	2003/05/26	12:36	45.73	26.67	138	3.8	$1.3 \times 10^{14}$	9.76	191	8
75	2003/08/02	01:32	45.59	26.47	149	4.1	$5.9 \times 10^{14}$	4.15	455	3
76	2003/08/27	13:15	45.61	26.46	151	3.8	$2.6 \times 10^{14}$	4.94	410	2
77	2004/01/21	05:49	45.52	26.46	118	4.1	$7.1 \times 10^{14}$	7.21	254	19
78	2004/02/13	17:48	45.68	26.67	134	3.8	$2.0 \times 10^{14}$	8.24	246	6
79	2004/03/17	23:42	45.63	26.62	146	4.1	$9.5 \times 10^{14}$	3.80	509	3
80	2004/04/02	03:21	45.68	26.59	147	3.8	$3.1 \times 10^{13}$	7.77	239	1
81	2004/04/04	06:41	45.68	26.50	150	4.3	$6.6 \times 10^{14}$	4.39	435	4
82	2004/04/06	22:35	45.64	26.55	141	3.9	$6.5 \times 10^{13}$	8.93	211	3
83	2004/04/15	00:54	45.60	26.57	101	3.2	$1.6 \times 10^{13}$	10.66	179	1
84	2004/04/22	16:08	45.44	26.39	124	3.7	$8.1 \times 10^{13}$	8.73	215	4
85	2004/06/03	21:43	45.79	26.84	62	2.9	$2.9 \times 10^{13}$	14.50	125	7
86	2004/07/02	01:38	45.68	26.81	108	3.8	$1.6 \times 10^{14}$	9.48	219	7
87	2004/09/12	04:26	45.47	26.33	145	3.2	$1.9 \times 10^{14}$	6.45	409	1
88	2004/10/24	19:56	45.44	26.39	153	4.4	$7.5 \times 10^{14}$	2.85	651	1
89	2004/11/17	11:31	45.72	26.73	131	4.4	$1.9 \times 10^{15}$	7.04	270	42
90	2005/01/10	10:05	45.75	26.79	112	3.5	$1.3 \times 10^{14}$	10.41	189	8
91	2005/01/10	12:08	45.67	26.60	99	3.7	$4.2 \times 10^{14}$	8.93	202	22
92	2005/01/29	01:34	45.62	26.38	76	3.4	$2.8 \times 10^{14}$	14.35	128	58
93	2005/02/17	07:06	45.57	26.59	110	3.7	$3.6 \times 10^{14}$	8.30	229	13
94	2005/03/06	22:32	45.63	26.52	155	4.3	$1.1 \times 10^{15}$	3.94	493	4
95	2005/03/07	20:48	45.63	26.50	125	3.5	$2.2 \times 10^{14}$	12.91	144	32
96	2005/04/15	19:58	45.62	26.52	144	3.7	$4.5 \times 10^{13}$	5.83	337	0.5
97	2005/05/09	06:53	45.50	26.28	143	4.1	$4.2 \times 10^{14}$	6.93	286	8
98	2005/05/14	06:36	45.65	26.49	147	4.2	$7.2 \times 10^{14}$	4.86	405	5
99	2009/04/26	23:19	45.69	26.64	104	3.8	$1.6 \times 10^{14}$	4.92	270	4
100	2013/04/21	08:09	45.67	26.59	132	3.9	$1.45 \times 10^{15}$	5.86	181	107
101	2010/05/08	00:22	45.70	26.56	92	3.5	$2.7 \times 10^{14}$	8.12	260	7
102	2010/08/06	15:55	45.69	26.58	88	3.5	$2.6 \times 10^{14}$	7.86	268	6
103	2013/04/25	17:12	45.51	26.27	144	3.6	$5.63 \times 10^{14}$	7.24	146	79
104	2013/06/23	06:16	45.50	26.32	136	3.2	$1.24 \times 10^{14}$	10.93	96	61
105	2013/07/12	18:02	45.52	26.37	137	3.6	$6.38 \times 10^{14}$	7.14	156	74
106	2013/09/20	18:08	45.74	26.6	94	3.3	$1.09 \times 10^{14}$	8.28	255	3
107	2013/10/22	07:16	45.75	26.69	132	3.4	$2.21 \times 10^{14}$	7.81	140	32
108	2013/11/07	14:34	45.75	26.67	135	3.7	$7.37 \times 10^{14}$	8.01	133	137
109	2013/12/27	07:58	45.74	26.65	93	3.5	$3.87 \times 10^{14}$	8.65	122	94
110	2014/03/31	15:48	45.60	26.45	151	3.3	$1.73 \times 10^{14}$	8.71	131	34

111	2014/04/07	12:59	45.51	26.26	119	3.7	$7.61 \times 10^{14}$	7.73	155	89
112	2014/06/29	14:38	45.64	26.54	144	3.3	$1.38 \times 10^{14}$	7.90	133	26
113	2014/08/02	16:59	45.73	26.62	102	3.3	$1.22 \times 10^{14}$	9.40	224	5
114	2014/09/23	05:57	45.73	26.57	91	3.3	$1.05 \times 10^{14}$	11.99	177	8
115	2015/01/09	08:19	45.72	26.63	102	3.4	$2.16 \times 10^{14}$	9.31	227	8
116	2015/01/24	07:55	45.70	26.57	88	4.5	$8.80 \times 10^{15}$	2.94	722	10
117	2015/06/16	05:54	45.71	26.58	88	3.2	$9.79 \times 10^{13}$	11.58	185	7
118	2015/09/15	21:56	45.72	26.62	98	3.2	$9.20 \times 10^{13}$	12.44	171	8
119	2016/03/11	22:00	45.70	26.59	93	3.0	$5.17 \times 10^{13}$	12.96	164	5
120	2016/09/20	12:34	45.77	26.69	79	3.3	$1.34 \times 10^{14}$	12.99	163	14
121	2016/09/20	12:37	45.77	26.70	76	3.1	$5.46 \times 10^{13}$	10.96	193	3
122	2016/10/14	12:45	45.70	26.58	98	2.8	$3.95 \times 10^{13}$	15.79	134	7
123	2017/01/11	03:17	45.72	26.67	87	3.2	$1.05 \times 10^{14}$	9.94	212	5

## **6 Rezultate, stadiul realizării obiectivului fazei, concluzii și propuneri pentru continuarea proiectului**

### **Rezultate**

Pentru parametrizarea sursei seismice vrancene am aplicat metodele relative ale rapoartelor spectrale si deconvolutiei cu functii Green empirice pe un set de 161 evenimente vrancene de adancime intermediara care indeplinesc conditiile cerute de metodele relative (Tabelul 1 din anexa contine toti parametrii de sursa calculati).

Principalul obiectiv al acestui studiu consta in analiza proprietatilor de scalare ce caracterizeaza sursa subcrustala vranceana prin integrarea unui set extins de date, practic, toate datele pe care le avem din studiile anterioare impreuna cu datele prelucrate in cadrul acestui studiu.

Se evidențiaza ca procesul de rupere pentru cutremurele din Vrancea este rapid si eficient, atat pentru socurile moderate cat si pentru cele mari, conducand la valori mari ale caderii de de tensiune dinamice si la valori mici ale dimensiunilor sursei.

Unul dintre cele mai importante rezultate ale analizei noastre se refera la faptul ca relatiile de scalare moment seismic - magnitudine, moment seismic - raza sursei si moment seismic- cadere de tensiune par a fi auto-similare pe toata gama de magnitudine a setului de date analizat ( $2.8 \leq Mw \leq 7.7$ ).

### **Articole publicate (6)**

- Emilia Popescu, Anica Otilia Placinta, Mircea Radulian, Felix Borleanu, Mihail Diaconescu, Source parameters of the earthquake sequence occurred close to the BURAR array (Romania) between 24 June and 1 July, Acceptata in Annals of Geophysica, 2017.
- I.-A. Moldovan, D. Toma-Danila, A. P. Constantin, A.O.Placinta , E. Popescu, C. Ghita, M. Diaconescu, T. Moldoveanu, C. M. PAERELE - Seismic Risk Assessment for Large Romanian Dams on Bistrita and Siret Rivers and their Tributaries , in STUDIA UNIVERSITATIS BABEŞ-BOLYAI. AMBIENTUM, 1-2, pp. 57-73.
- Paulescu D., Rogozea M., Radulian M., Popa M., Digitized database of old seismograms recorded in Romania, Acta Geophysica, vol. 64 (4), 963-977, 2016.

### **Articole trimise spre publicare**

- Mircea Radulian, Emilia Popescu, Anica Otilia Placinta, Iren Adelina Moldovan, Application of empirical Green's function deconvolution for the largest Vrancea intermediate –depth earthquakes occurred in the last ten years (publicata in revistele anuntate de ELEDIMA, Cluj-Napoaca, 2016).
- Angela Petruta Constantin, I.-A. Moldovan, F. Lavigne, D. Grancher, R. Partheniu, Perception AND preparedness of the tsunami risk within the Black Sea (Romania), Proc. of SGEM 2017, Albena, Bulgaria.
- M. Diaconescu, G.M. Craiu, E. Oros, A. Craiu, E. G. Constantinescu, Seismicity of Strei-Hateg basin, Proc. of SGEM 2017, Albena, Bulgaria.

## **Prezentari la confrinte:**

### **ESC 35th Gen. Assembly, Trieste, Italia, 4 – 11 septembrie 2016**

1. E. Popescu, A. O. Placinta, F. Borleanu, M. Radulian, I. A. Moldovan, A. Coman, Scaling source properties of the earthquake sequence triggered on 22 November 2014 in the South-Eastern Carpathians foredeep area (Romania), ESC2016-118.
2. M. Radulian, E. Popescu, A. O. Placinta, F. Borleanu, Source scaling in the Vrancea subcrustal nest (Romania): an overview over the last 75 years, ESC2016-121.
3. **Ardeleanu L.**, The high frequency waveform inversion – an adequate tool for estimating the focal mechanism of the weak crustal earthquakes of Vrancea region (Romania).
4. Băla A., Tătaru D., Grecu B., Models of crustal structure in western part of Romania using joint inversion of Green functions and receiver funtions, ESC2016-78.
5. Oros E., M. Popa, C. Ghita, M. Rogozea, A. Rau, C. Neagoe, Catalog of focal mechanism solutions for crustal earthquakes. Intra-Carpathian region of Romania, ESC2016-142 (poster)
6. N. Poiata, D. Tataru, B. Grecu, M. Radulian, M. Popa, Anatomy of 2013 Galati seismic swarm in southeastern Romania – implications for understanding the triggering mechanism, ESC2016-542
7. F. Borleanu, A. O. Placinta, M. Rogozea, M. Popa, M. Radulian, Multi-Channel correlation analysis for November, 2014 South-Eastern Carpathians (Romania) sequence, ESC2016-596.
8. F. Borleanu, L. De Siena, C. Thomas, M. Popa, M. Radulian, Spatial distribution of scattering and absorption features revealed by coda waves from intermediate depth earthquakes in the Vrancea region (Romania), ESC2016-594.

### **2. 25 Noiembrie 2016- GEO 2016, Bucharest**

1.Diaconescu M., Oros E., Craiu A., Seismicity of southern Apuseni Mountains.

### **3. ACADEMIA ROMÂNĂ Secția de Științe Geonomice Comitetul National "Terra în Viitor: Cercetări pentru Dezvoltarea Durabilă Globală"**

### **Evaluarea integrată a riscurilor naturale din România – 40 de ani de la cutremurul din 4 martie 1977 –4 martie 2017.**

1. Prof. M. Radulian, *Sursa seismică vrânceană: evolutia cunoasterii de la 1977 până în prezent-prezentare orala.*

### **4. EGU2017-23-28 April, Vienna, Austria**

#### **EGU2017-11793**

1. M. Radulian, E. Popescu, A.O. Placinta, Source scaling properties in upper segment of the Vrancea subcrustal nest (Romania), 23-28 April, Vienna, Austria.
2. Oros, M. Popa, M. Diaconescu, M.Radulian, Active stress field and seismotectonic features in Intra-Carpathian region of Romania, 23-28 April, Vienna, Austria.

### **5.17 th International Multidisciplinary Scientific Geoconference SGEM 2017, Albena, Bulgaria.**

1. E.G. Constantinescu, M. Diaconescu, B. Grecu, Geotectonic setting of some seismological observatories from the eastern part of Romania, SGEM 2017, 27June- 6 July, Albena, Bulgaria.
2. A. Bala, D. Toma-Danila, B. Grecu, D. Tataru, Assessing the crustal model and geodynamics behavior in western part of Romania, SGEM 2017, 27June- 6 July, Albena, Bulgaria.

### **6. CNISS-14-17 June 2017**

- 1.M. Radulian, How predictable are Vrancea large earthquakes?
2. M. Radulian, E. Popescu, A. O. Plăcintă, M. Popa, Seismicity and source properties investigation since the Vrancea earthquake of 4 March 1977 to the present.

## **Stadiul realizării obiectivului fazei**

Obiectivul fazei a fost realizat integral.

### **Concluzii**

Principalul obiectiv al acestei lucrari consta in analiza proprietatilor de scalare ce caracterizeaza sursa subcrustala vranceana prin integrarea unui set extins de date, practic, toate datele pe care le avem din studiile anterioare impreuna cu datele prelucrate in acestui studiu. Cele mai multe dintre evenimentele din setul de date analizat sunt de magnitudine mica pana la moderata. Pentru astfel de evenimente, de obicei se considera acceptabil un model cu rupere circulara.

O problema esentiala in investigarea proprietatilor de scalare a sursei seismice intr-o anumita zona seismogena este intervalul de magnitudine pentru care sunt definite in mod corespunzator legile de scalare. De exemplu, au existat discutii si controverse cu privire la schimbarea legilor de scalare pentru cutremure mici pana la moderate si cutremure mari din crusta (Scholz, 1982, 1997 si Wang si Ou, 1998). Unul dintre cele mai importante rezultate ale analizei noastre este extinderea legilor de scalare pe intreaga gama de magnitudine, de la cutremure mici si moderate pana la cutremure majore. Aceasta extindere nu este triviala daca avem in vedere faptul ca sunt presupuse clase diferite de modele de seismogeneza in sursa vranceana pe domenii diferite de magnitudine. De exemplu, se presupune existenta unui salt de la procese de rupere de tip fisura la procese de rupere de tip asperitate la scara cutremurelor mici si moderate si a unui salt la procese de rupere de tip percolatie la scara cutremurelor majore (Trifu si Radulian, 1991). Cu toate acestea, relatiile de scalare moment seismic - magnitudine, moment seismic - raza sursei si moment seismic- cadere de tensiune indica o auto-similaritate pe toata gama de magnitudine a setului de date analizat ( $2.8 \leq Mw \leq 7.7$ ).

Valorile caderii de tensiune estimate din raza sursei folosind metoda rapoartelor spectrale sau spectrelor de deplasare ale sursei prezinta o dispersie foarte mare, intre 0,1-1.000 MPa. Cu toate acestea, daca luam in considerare erorile inerente si sistematice in special pentru cutremurele mici (subestimarea frecventei de colt care duce la scaderea caderii de tensiune) si erorile cauzate de variatiile parametrilor de sursa care au fost considerate similare in lucrarea noastră (viteza de rupere sau geometria sursei), putem spune ca avem un model cu o cadere de tensiune constanta, cu o valoare medie in jurul valorii de 10 MPa. Aceasta este cel mai probabil o valoare caracteristica pentru o cadere de tensiune statica.

Cu toate acestea nu putem exclude ca unele valori ale caderii de tensiune sunt mai degraba dinamice decat statice pentru evenimentele moderate daca presupunem ca eliberarea de tensiune a fost cauzata, in principal, de ruperea unei singure asperitati. Intr-adevar, parametrii obtinuti de Gusev et al. (2002) folosind date inregistrate pe un domeniu larg, regionale si telesime (de la sute la mii de km) pentru 12 cutremure moderate si mari din Vrancea sunt sistematic mai mici (frecventa de colt) si respectiv mai mari (durata sursei) decat in cazul determinarilor din studiul nostru. Estimarile parametrilor de sursa bazate pe analiza spectrala a sursei pentru formele de unda in camp indepartat sunt, in principal, controlate de aria intregii surse, in timp ce metoda EFG este mai sensibila la asperitatile majore locale care actioneaza in procesul de rupere. Pe aceasta cale putem explica valorile caderilor de tensiune neobisnuit de mari pentru cutremurele de marime moderata din analiza noastră (pana la sute de MPa dupa cum se vede in Fig.7).

Oth et al. (2007) au estimat valorile dinamice ale caderii de tensiune pentru cutremurele majore din Vrancea, valori care sunt de aproximativ zece ori mai mari decat valorile statice pe care le folosim in lucrarea noastră (Figura 7). Daca analizam toate aceste aspecte, ajungem la o concluzie importanta, cu o semnificatie speciala in evaluarea riscului seismic si a caracteristicilor miscarii solului: procesul de rupere pentru cutremurele din Vrancea este rapid si eficient atat pentru cutremurele moderate cat si pentru cele mari, ceea ce implica valori mari ale caderii de tensiune dinamica si respectiv valori scăzute ale dimensiunii sursei.

Responsabil proiect

Dr. Emilia Popescu, CS gr.I